

توافق قيم الشد عند جبهة الابتلال كدالة لبعض الصفات المائية للتربة

هشام محمود حسن

حسين عبد المجيد جاسم القهوجي

جامعة الموصل / كلية الزراعة والغابات / قسم علوم التربة والمياه

الخلاصة

نفذت الدراسة الحقلية في ثلاثة مواقع ضمن محافظة نينوى لترب مختلفة النسجة والاستخدام بتطبيق بعض المعادلات للتتبؤ بالشد عند جبهة الابتلال من خلال تغير المحتوى الرطوبوي اثناء غيض الماء في التربة باستخدام إسطوانة الغيض المزدوجة للترب المزروعة وغير المزروعة لمعرفة مدى توافق قيم الشد عند جبهة الابتلال كدالة لبعض الصفات المائية للتربة. اوضحت النتائج ان المستويات الواطئة من الرطوبة اكدت عدم ارتباط الايكالية المائية كدالة للمحتوى الرطوبوي بل اعتمد على تغير الجهد الهيدروليكي . من جهة اخرى اظهرت النتائج توافق قيم الشد عند جبهة الابتلال كدالة للمحتوى الرطوبوي مع جهد الشد عند جبهة الابتلال كدالة للامتصاصية المحسوبة عند المحتوى الرطوبوي الاقل من السعة الحقلية.

Fitting of Matrics Potential at Wetting Front as Function of Some Water Properties

H . A . Jassim

H . M . Hassan

University of Mosul . College of Agriculture and Forestry Dept of soil and water science

Abstract

This study was conducted in three locations at Ninewa Governorate, with different texture and land use by applying some equation to predict matric potential at wetting front through the variability of moisture contents during the infiltration of water in the soil by using double rings infiltrometer in planted and nonplanted soil to know the correlation of matric potential as function of soil water properties.

Results indicated that the value of hydraulic conductivity as a function of moisture content was not correlated at lower moisture content but related to change of hydraulic head. On the other hand, result revealed that matric potential as a function of both moisture content and

calculated sorptivity were best fit at moisture level less than field capacity.

Key words : matrices potential, wetting front, sorptivity, soil water properties.

قبل في 27/12/2006

أسلم في 10/3/2005

المقدمة

يؤدي دخول الماء وحركته داخل التربة الى ترطيب التربة لعمق معين اعتمادا على المحتوى الرطوبى الابتدائى والذى يتاثر ببعض الصفات الفيزيانية والكيمائية والحيوية للتربة. لذلك فان الظواهر الديناميكية للترابة تتباين هي الاخرى مع دخول الماء لسطح التربة حيث يتكون نطاق الاشباع في الاعلى ثم يليها نطاق الانتقال ثم يليها نطاق الابتلال في الاسفل وبعدها يستمر تقدم جبهة الابتلال [11]. تعد جبهة الابتلال ذا اهمية كبيرة وذلك من خلال حركة الماء في مقد التربة ووصوله اقصى عمق وارتباطه بخصائص التربة ، ان فهم حركة الماء يمكن في معرفة الشد عند جبهة الابتلال خلال عملية غمض الماء حيث يتم التحرى عن موقعها عن طريق قياس التغير في المحتوى الرطوبى في قطاع التربة. اضافة لذلك يلاحظ ان حركة الماء تتأثر بصفات التربة المختلفة كالنسجة والايصالية المائية، معدل اضافة الماء، عمود الماء فوق سطح التربة وطباقية التربة [16 و 19]. استخدم معدل اخذ الماء كدالة للشد عند جبهة الابتلال في بعض المجاميع ذات الاشكال المختلفة [25]. في حين وجد [24] ان جهد التدفق الهيكلي مرتبط بالامتصاصية خلال قياس الجريان الثابت للماء. اما [15] استخدم جهد الجاذبية وفرق الجهد الشعري في نطاق الانتقال خلال توزيع المحتوى الرطوبى في مقد التربة ، ووضح [12] اسماه جهد التداخل السطحي بين الماء والهواء مع بعض الخصائص الفيزيانية في التنبؤ بحركة جبهة الابتلال خلال الغيض باتجاه واحد. [6] فقد وجدوا معادلة للتنبؤ بالشد عند جبهة الابتلال اعتمادا على المحتوى الرطوبى المشبع وثوابت معينة من خلال معادلة [14]. تهدف هذه الدراسة لمعرفة مدى توافق جهد الشد عند جبهة الابتلال كدالة لكل من المحتوى الرطوبى والامتصاصية المحسوبة لترسب مختلفة النسجة والاستعمال.

مواد وطرق البحث

اختيرت ثلاثة مواقع لترسب مختلف النسجة والاستعمال ضمن محافظة نينوى، الموقع الاول في حقل كلية الزراعة والغابات، الموقع الثاني لبستان في حاوي الكنيسة اما الموقع الثالث فكان لحفل في منطقة الجبلة لدراسة مدى توافق قيم الشد عند جبهة الابتلال كدالة لبعض الصفة المائية والايصالية المائية.

قدر المحتوى الرطوبى بالطريقة الوزنية عن طريق اخذ النماذج بواسطة مثقب الريمة في ثلاث مكررات لكل موقع خلال فترة غيض الماء باستخدام الاسطوانة المزدوجة تم قياس الكثافة الظاهرية لعينة التربة غير المستشاره لغرض تقدير المحتوى الرطوبى الحجمي حسب الطريقة المقترنة من قبل [3] ، استخدم كل من قدر الضغط و غشاء الضغط عند الشدود (كيلو باسكال) للحصول على منحنيات الوصف الرطوبى وقيم الشد عند تغيرات المحتوى الرطوبى خلال مقد التربة و كما جاء في [3] ، تم ايجاد قيم الايصالية لمائية كدالة للشد و المحتوى الرطوبى من خلال تغيرات المحتوى الرطوبى و الشد مع الزمن . اما الامتصاصية فتم قياسها حسب الطريقة المقدمة من قبل [9]. تم استخدام حزمة برامجيات SPSS Ver.9 في حساب و تحليل كافة المعايير المختلفة للوصول الى اكفاء تمثيل لبيانات المقاسة و المحسوبة بتطبيق معدلات الانحدار المتدرج و البسيط . الصفات الفيزيانية و

الكيميائية لتراب موقع الدراسة موضحة في الجدول (). اعتمد تغيير المحتوى الرطوبى و الشد مع الزمن لايجاد الثوابت a,b,c ولتقدير بعض الصفات المائية الاخرى وكما موضح في [26].

تم ايجاد الشد عند جبهة الابتلال كدالة للمحتوى الرطوبى كما جاء [6] في المعادلة التالية

$$H_f(\theta) = m \left(\frac{\theta_s}{a} \right)^{\frac{1}{b}} \left[\frac{(b-1)}{(b+n^{-1})} \right] \quad [1]$$

حيث أن

() الشد عند جبهة الابتلال كدالة للمحتوى الرطوبى ()

$$(/) \quad s$$

n,m,b,a

اما جهد الشد عند جبهة الابتلال كدالة للامتصاصية المحسوبة $H_f(sor)$ و الامتصاصية [S] [7] في المعادلتين و على التوالي.

$$H_f(sor) = \frac{S^2}{-2(\theta_s - \theta_i)k_s} \quad --[2]$$

حيث أن

() - الشد عند جبهة الابتلال كدالة للامتصاصية ()

$$/ - i$$

S - الامتصاصية سم/
k_s - الايصالية المائية المشبعة

$$S = [-2(\theta_s - \theta_i)k_s m(\theta_s/a)^{m/b} (b-1)/(b+n-1)]^{\frac{1}{2}} \quad [3]$$

النتائج والمناقشة

اظهرت نتائج الدراسة تباين قيم الايصالية المائية غير المشبعة المحسوبة كدالة لكل من المحتوى الرطوبى والشد للترب الممزروعة وغير الممزروعة خلال فترات الغيض لتراب الموقع . يعود سبب ذلك الى تأثير المحتوى الرطوبى في قيم الايصالية المائية اكثر من تأثيرها في دالة الشد وذلك لضعف تأثير الشد على حركة الماء وجاءت هذه النتيجة مطابقة لما وجده [4]. لذلك اعتمدت الدراسة في قياس المحتوى الرطوبى لقطاع التربة واسقاطه على منحنى الوصف الرطوبى لاستخراج قيم الشد عند المحتوى الرطوبى المحدد لكل من الترب الممزروعة وغير

المزروعة وفق معادلة تربط المحتوى الرطوبى، الشد والزمن خلال فترات الغيض ، وذلك لأن الايصالية المائية تعتمد على تغير انحدار الجهد الهيدروليكي . اما بالنسبة لنرب الموقع الثاني المزيجية والموقع الثالث الطينية فان قيم الايصالية المائية فكانت متوافقة مع قيمها للموقع الاول ي الرطوبى افضل منها كدالة للشد رغم اختلاف قيم الايصالية المائية كدالة للمحتوى الرطوبى لنرب هذين الموقعين خلال فترة الغيض الاول مقارنة مع فترة الغيض الثاني . يرجع هذا الاختلاف الى عدم استقرار المحتوى الرطوبى في منطقة الانتقال ولهذه الترب المتوسطة المسامية وضعف ارتباط الدقائق مع بعضها البعض . وبشكل عام فان عدم توافق قيم الايصالية المائية كدالة للشد الرطوبى (ψ)K و كدالة للمحتوى الرطوبى(θ)K لنرب الواقع الثالث يعود الى تباين ارتفاع عمود الماء خلال فترة الغيض وتغير الجهد الهيدروليكي. هذه النتائج تتفق مع ما توصل اليها كل من [2,23] . من جهة اخرى اوضحت النتائج تطابق قيم الشد عند جبهة الابتلال كدالة للمحتوى الرطوبى مع قيمها كدالة للامتصاصية وبانطباق ٩٩٪ عند المستويات الرطوبية الاقل من السعة الحقلية ولترب الواقع الثلاث وذلك لتماثل النموذجين في بعض المعايير المشتركة الجداول (٢ و ٣ و ٤ و ٥ و ٦ و ٧) على التوالي وتباين قيم الثوابت n, m, b, a والمعتمدة على الصفات الهيدروليكية للتربة كما موضح في الشكل [4]

$$H_f = 252.51 - 3911.02b - 1.90m - 1358.1n + 158.97 \quad [4]$$

$$H_f = 144.62 + 1163.90b - 19.00m - 14.99n - 131.10a \quad [5]$$

حيث يمثل العامل a حالة امتلاء المسام بالماء والعامل b تناقص المحتوى الرطوبى والعامل n يمثل ضغط عمود الماء فوق التربة ويمثل العامل m تأثير الشد الرطوبى ؛ اما قيم معامل التحديد R^2 لارتباط المحتوى الرطوبى ، الشد والزمن فكانت ٠.٧٦ ، ٠.٨٣ و ٠.٩٧ لالاعماق ١٥ ، ٣٠ و ٤٥ سم لترب الموقع الاول ومقاربًا لذلك لنرب الموقعين الثاني والثالث يعود هذا الاختلاف لتغير المحتوى الرطوبى خلال مراحل غيض وحركة الماء في مقد الترب المزروعة وغير المزروعة ، اضافة لذلك فان لنوع النباتات المزروعة وطبيعة الاستخدام الدور الكبير في التأثير على المحتوى الرطوبى ، جاءت هذه النتيجة مطابقة لما توصل اليه كل من [22 10 6 21 20].

يلاحظ من نتائج الدراسة ارتفاع قيم جهد الشد عند جبهة الابتلال كدالة للمحتوى الرطوبى (H_f) في اعماق التربة وخلال مراحل الغيض عند قلة قيم المحتوى الرطوبى الابتدائي حيث بلغنا اقل قيمة للشد ($H_f(\theta)$) ٨٣.٢٤ كيلوباسكال عند العمق ٣٠ سم في فترة الغيض الثاني لنرب الحقل المزروع ووصوله الى قيمة . كيلوباسكال عند العمق . وهذا الاختلاف في قيم جهد الشد بين فترتي الغيض الثاني والثالث يكون معتمدا على تذبذب المحتوى الرطوبى الابتدائي والذي يعود بدرجة اساسية الى امتلاء المسامات البينية.

جدول (١) الصفات الغيرية و الكبيرة لزرب موائع الدراسة

الجيوب		كلية الراحلة والعلياء												الموقع			
الجيوب		جاري التنسية						غير مزدوج						نوع الاستخدام			
غير مزدوج	مزدوج	غير مزدوج	مزدوج	غير مزدوج	مزدوج	غير مزدوج	مزدوج	غير مزدوج	مزدوج	غير مزدوج	مزدوج	غير مزدوج	مزدوج	غير مزدوج	مزدوج		
45	30	15	45	30	15	45	30	15	45	30	15	45	30	15	45		
282.2	274.2	274.3	260	264.5	251	446.7	442.1	455.3	450.5	465.4	459.8	307.6	296.8	314.7	253.6	309.1	309.8
214.5	234.6	212.3	225.5	231.3	227.7	245.7	231.2	237.2	245.6	229.2	249.8	296.9	342.2	354.1	351.4	323.5	357.8
503.2	493.2	513.2	515.1	504.3	521.7	290.6	316.7	307.5	304	290.4	375.5	345.5	323.4	395	366.7	322.4	
1.43	1.39	1.38	1.46	1.45	1.33	1.41	1.43	1.33	1.39	1.26	1.44	1.38	1.41	1.34	1.35	1.34	
1.02	1.04	1.57	1.68	0.79	1.6	2	2	2.2	1.6	2.8	2.6	1.06	1.02	2.11	1.22	1.63	2.25
0.14	0.15	0.14	0.11	0.11	0.19	0.18	0.14	0.15	0.18	0.14	0.15	0.19	0.16	0.17	0.41	0.27	0.24
8.4	10.6	10.4	11.9	8.1	16	11.2	12.2	16.4	10.9	12.2	14	14.3	11.8	16.4	22	20	19
7.75	7.62	7.55	7.58	7.55	7.5	7.3	7.3	7.6	7.5	7.6	7.9	7.8	7.5	7.3	7.3	7.2	
1.1	1.1	1	1.25	1.5	1.25	1.4	1.2	1	1.7	1.8	1.7	0.35	0.32	0.42	0.7	0.45	0.5
251.5	290.1	251.5	273.1	175.6	187.3	174.3	251.7	251.7	155.4	135.9	154.5	135.8	252.4	252.5	224.6	155	213
1.9	2.3	1.6	3	30	14	1.8	1.5	1.4	1.9	1.2	0.8	-	-	-	-	-	

جدول 2 : الشد عند جبهة الإبطال دالة لاصطف تربة حقل كلية الزراعة و الغابات المزروع

R ²		العوامل الثانية مع معامل التحديد		الإبساليدالية المائية		كتلة المحترى		الإمتصاصية (sor)		الشد عند جبهة الإبطال (Ht) (كيلو بيكسل)						
الغمق (سم)		0 - al ^b		الحجمي (سم ³) (سم ^{0.5} / سم ^{0.5})		المحترى الرضوبى (θ)		المسحب (θs)		الشد عند جبهة الإبطال (Ks)						
Sor المقصبة	Sor المقطبة	K	0	المحصبة	المقادمة	المقطبة	المقطبة	R ²	n	m	R ²	b	a	(θ)	(θs)	
100.1	53.8	56.3	100.1	0.33	0.24	0.54	0.12	0.78*	0.43	7.3	0.76*	0.117-	0.59	0.327	0.265	15
264	3.3	110.9	264	0.252	0.27	0.48	0.05	0.91**	0.416	9.75	0.83**	0.124-	0.55	0.259	0.244	30
102	121	137.6	101.3	0.375	0.41	0.66	0.18	0.96**	0.594	7.87	0.97**	0.193	0.705	0.281	0.218	45
160	16	81.6	160	0.766	0.24	0.9	0.18	0.89**	0.938	0.451	0.87**	0.255	1.23	0.362	0.242	15
83	291	144.9	83.2	0.146	0.27	0.3	0.06	0.7*	0.18-X	313.7	0.71*	0.05X	0.219	0.302	0.277	30
144	840.5	131.9	144.4	0.175	0.41	0.3	0.18	0.71*	0.062	105.7	0.71*	0.019-	0.301	0.279	0.259	45
205	91.1	160.4	206.4	0.374	0.24	0.24	0.06	0.76*	0.509	9.59	0.76*	0.177-	0.661	0.273	0.194	15
211	76	0.145	211.4	0.446	0.27	0.3	0.06	0.76*	0.684	2.88	0.76*	0.21	0.891	0.309	0.213	30
464	77.2	213.3	464.3	1.019	0.41	0.54	0.12	0.74*	0.916	1.45	0.74*	0.35	1.604	0.274	0.153	45
872	-	770.9	872.9	0.3	-	1.2	0.06	0.94**	0.197	284.3	0.94**	0.121-	0.256	0.145	0.119	60

* معماري عدد مستوى احتمال 1% ، ** معماري عدد مستوى احتمال 5%.

X قيم موجبة او سالبة ليس لها تفسير فزيولوجي.

جدول ٣ : الشد عند جبهة الإبدال كدالة لأعماق قربة حقل كلية الزراعة و الغابات غير المزروع

H _c (الشد عند جبهة الإبدال) (كيلوباسكال)	(sor) ^a الاستنسابية كدالة للمحتوى الرطوري سم/(دقيقة) ^b سم/ساعة)	الموارد الأثابية مع معامل الحديد ²						المحترى الرطوري الجمي (سم ³)						
		R ² Ψ - ml ⁿ	0 - al ^b	R ²	n	m	R ²	b	a	المق الغبار (s)	المق (0)			
Sor المستوية المائية	Sor الماء	K	0	المقابضة المخصوصة	المقابضة المخصوصة	K _s	المشبعية الإيجاثية	K _i	R ²	n	m	R ²	b	a
110.7	4	8.11	110	0.282	0.17	2.34	0.18	0.91**	1.56	0.01	0.72*	0.137-	0.66-	0.365
182.4	10.2	35.65	182	0.678	0.16	2.04	0.24	0.91**	0.637	3.38	0.9**	0.14	0.62	0.307
101.8	10	36.86	102.3	1.42	0.19	1.98	0.06	0.99**	0.424	8.3	0.99**	0.108-	0.47-	0.296
5.8	0.23	42.8	5.8	0.265	0.17	1.8	0.6	0.99**	3.59	7.10x2	0.99**	0.62x	8.04-	0.404
6.4	0.22	38.06	6.4	0.266	0.16	1.8	0.6	0.99**	3.3	7.10x9	0.99**	0.53-	5.17	0.42
78.6	3.7	553.8	78.6	0.88	0.19	1.8	0.54	0.99**	2.9	7.10x7	0.91**	0.53-	4.66	0.36
107.6	3.5	33.56	107.6	0.96	0.17	1.8	0.24	0.7*	1.69	0.005	0.65*	0.34-	1.89	0.332
201.5	4.6	122.3	201.5	1.1	0.16	1.2	0.42	0.91**	1.79	0.011	0.86**	0.37-	1.89	0.317
153.2	5	114.7	153.2	1.1	0.19	1.2	0.42	0.71*	2.18	0.001	0.69*	0.58	5.7	0.306
10.9		124.3	10.9	1.8		0.6	0.42	0.7*	1.26	0.219	0.7*	0.38	1.78	0.292
													0.125	60

* معنوي عدد مستوى احتمال ١% ، ** معنوي عدد مستوى احتمال ٥% .

X فيه موجبة او سلبية ليس لها تفسير فزيولوجي.

جدول 4 : الشد عدد جبهة الإبداع دالة لبعض الخصائص الفيزيائية للأعصاب المزدوج

العدد عدد جبهة الإبداع H_f (كيلو بيكول)		الموارد التالية مع معنون التحديد R^2		المحوري الطرقي (سم سم^3)		العنق العيني (سم)		غيرات العين	
Sor المحسوبة	Sor المحسوبة	K	θ	المقالة	المصري	التشريع	الابتدائي	K_s	K_t
47.6	4.2	24	47.6	0.511	0.15	0.78*	0.616	1.11	0.78*
49	5.1	17.7	49	0.434	0.14	1.9	0.06	0.96**	0.54
32.2	9	128.7	32.4	0.34	0.18	1.74	0.06	0.61NS	0.21- x
190.6	2.27	125.5	190.6	0.91	0.15	1.68	0.12	0.74*	0.38- x
45.6	0.03	26.3	45.56	0.344	0.14	1.86	0.12	0.99**	0.113
1.4	3	1.38	1.39	0.105	0.18	1.44	0.12	0.97**	0.031
1.3	2.8	1.32	1.34	0.095	0.15	1.32	0.3	0.85**	0.021
1.6	6.4	1.46	1.56	0.088	0.14	1.4	0.24	0.91**	0.086
1.5	-	1.41	1.5	0.085	0.18	1.2	1.8	0.94**	0.078
1.4	-	7.51	1.44	0.087	-	1.1	0.06	0.91**	0.063

جدول ٥ : الشد عند جبهة الإبلاط كدالة لبعض الخصائص الفيزيائية لأعلاف المزروع

نوع العيني العيني (سم) العيون العيون	الجهة الجهة	العوامل الثانية مع معامل التحديد R^2										الجهة الجهة	الجهة الجهة
		الجهة الجهة	الجهة الجهة	الجهة الجهة	الجهة الجهة	الجهة الجهة	الجهة الجهة	الجهة الجهة	الجهة الجهة	الجهة الجهة	الجهة الجهة		
Sor الماء الماء	K الماء	K الماء	θ الماء	R ² الماء	n الماء	m الماء	R ² الماء	b الماء	a الماء	θ _s الماء	θ _t الماء	الجهة الجهة	الجهة الجهة
47.8	3.1	3.6	47.83	0.601	0.15	2.4	0.12	0.98**	1.1	0.03	0.99**	0.19-	0.87
22.6	9.6	8.3	22.6	0.233	0.14	1.8	0.06	0.92**	0.38	2.3	0.93**	0.07-	0.45
34.5	7.5	8.3	34.46	0.369	0.18	2.4	0.06	0.8*	0.67	0.05	0.8*	0.13	0.61
40.8	-	7.5	40.8	0.579	-	2.4	0.12	0.7*	0.85	0.22	0.75*	0.19-	0.85
39.1	-	0.27	39.05	14.9	-	1.8	0.12	0.82*	0.52	1.7	0.8*	0.1-	0.5
22.2	11	17.38	22.18	0.11	0.15	1.2	0.06	0.95**	0.73	0.24	0.94**	0.13-	0.63
21.9	7.5	12.72	21.94	0.139	0.14	1.2	0.06	0.91**	0.78	0.18	0.92**	0.13	0.68
87	23	19.81	87.03	0.384	0.18	0.6	0.06	0.91**	0.92	0.19	0.89**	0.15-	0.7
18.9	-	8.89	18.9	0.131	-	1.2	0.24	0.76*	0.66	0.4	0.74*	0.11-	0.59
15.6	-	35.4	15.56	0.08	-	0.24	0.06	0.79*	0.37-x	268.2	0.7*	0.08-	0.18

* معماري عدد مستوى الماء ١% ، * معماري عدد مستوى الماء ٥% .
X قيم موجودة او سالبة ليس لها تفسير فزيولوجي.

جدول 6 : الشد عند جبهة الابطل كدالة لبعض الخصائص الفيزيائية لأعماق قرية حقل الجبلة المزروع

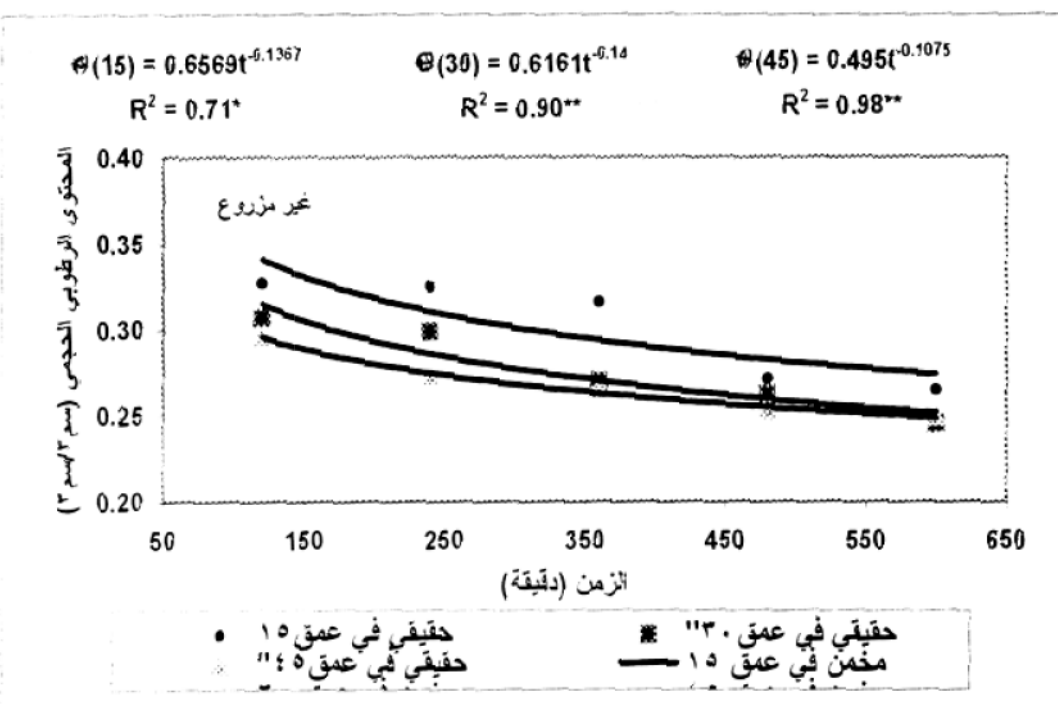
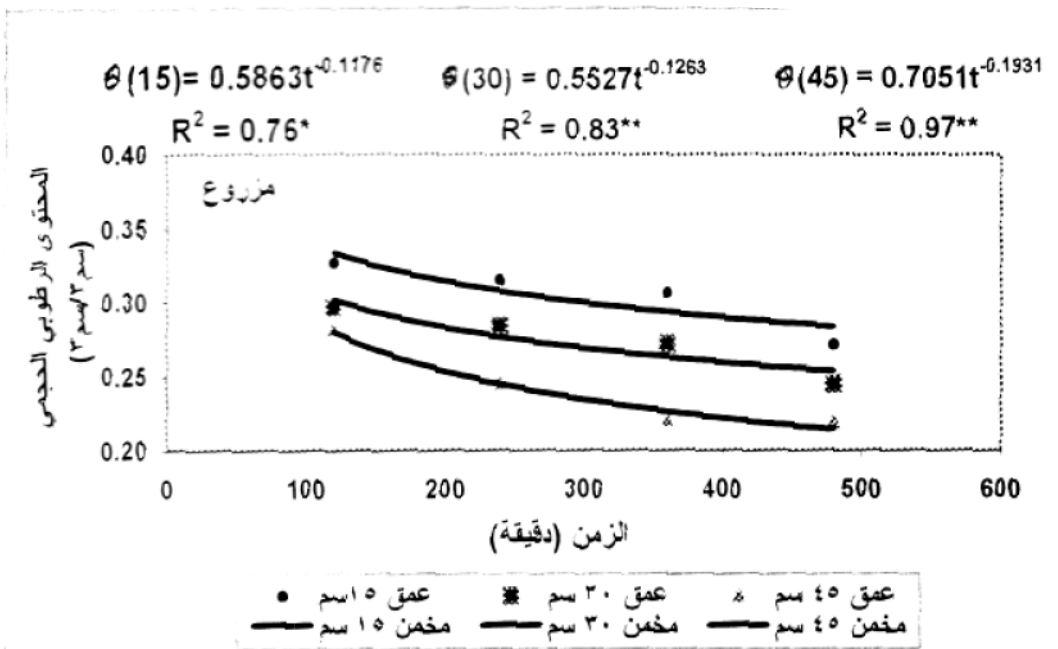
الشد عند جبهة الابطل (كيلو بيسكال)		البرأس الدائري مع معامل التجذيد R ²		البرأس الدائري مع معامل التجذيد 0 - ml ^b		البرأس الدائري مع معامل التجذيد 0 - al ^b										
Sor المحموية	Sor المقاومة	K	θ	sor المحموية	المعالسة	الابتدائية المتبعة K _s	R ²	n	m	R ²	b	a	المق المحمي (س) ³ الابتدائي (θ ₁)	المق المحمي (س) ³ الابتدائي (θ ₂)		
46.8	9.6	19.3	46.8	0.41	0.19	2.4	0.18	0.65*	0.51	2.66	0.66*	0.08-	0.52	0.367	0.32	15
349.5	9.6	127.3	349.5	0.66	0.11	1.8	0.12	0.63N-S	0.14-N	172.7	0.64N-S	0.03-	0.3	0.361	0.34	30
62.7	51.9	161	62.7	0.23	0.1	1.8	0.06	0.76*	0.21-N	277	0.77*	0.04x	0.27	0.345	0.33	45
107.4	-	55.3	167.4	0.39	-	2.2	0.06	0.88**	0.21	30.9	0.88**	0.04-	0.41	0.335	0.32	60
72.6	-	223.1	72.6	0.354	-	1.9	0.06	0.77*	0.25-N	440.1	0.72*	0.05-	0.24	0.331	0.3	75
58	200	45.1	58.01	0.098	0.19	0.18	0.24	0.7*	0.31	8.7	0.68*	0.05-	0.43	0.332	0.302	15
138	9.7	69.8	137.8	0.405	0.11	0.5	0.12	0.86**	0.79	1.11	0.86**	0.15-	0.78	0.391	0.313	30
108	42.7	89.8	107.5	0.163	0.1	0.18	0.06	0.73*	0.36	13.4	0.73*	0.07-	0.48	0.347	0.308	45
121	-	96.4	121.7	0.183	-	0.24	0.12	0.91**	0.35	17.6	0.92**	0.08-	0.47	0.331	0.299	60
151	-	103.9	151.2	0.235	-	0.18	0.12	0.97**	0.59	3.9	0.96**	0.12-	0.63	0.348	0.292	75

* معتبر عند مستوى احتمال 1% ، ** معتبر عند مستوى احتمال 5% .
X قيمة موجودة او سالبة ليس لها تفسير فيزيائي.

جدول 7 : الشد عند جبهة الإبدان كدلالة لبعض الخصائص الفيزيائية لأعماق تربة حقل الجبلة غير المزروع

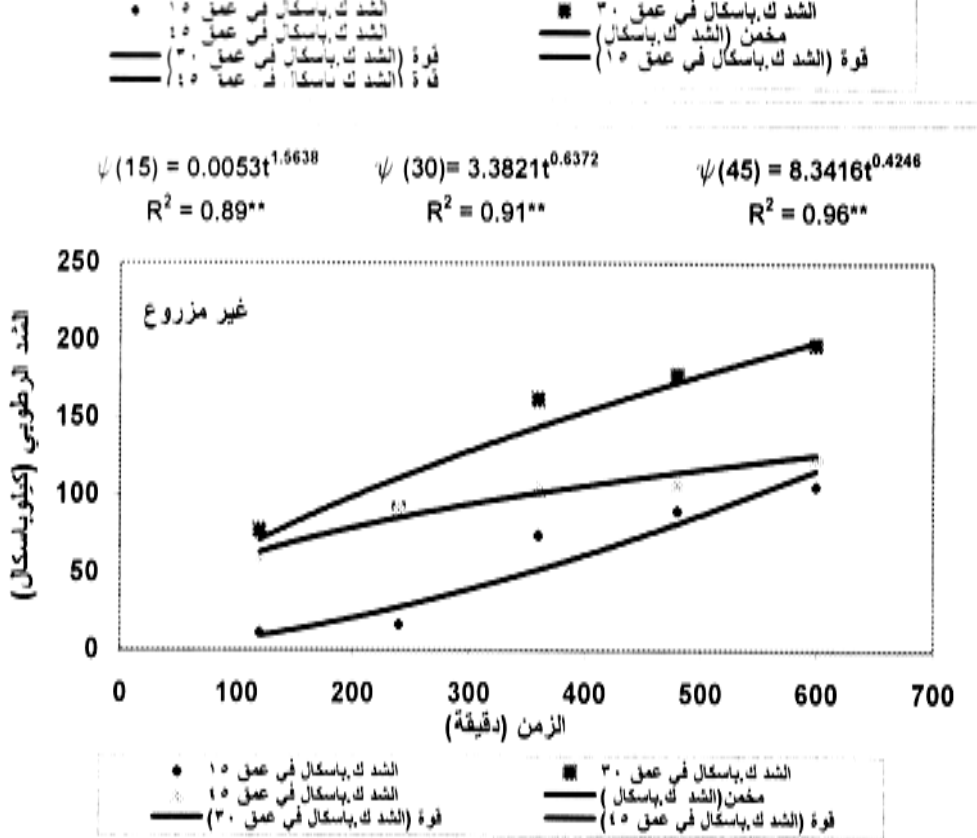
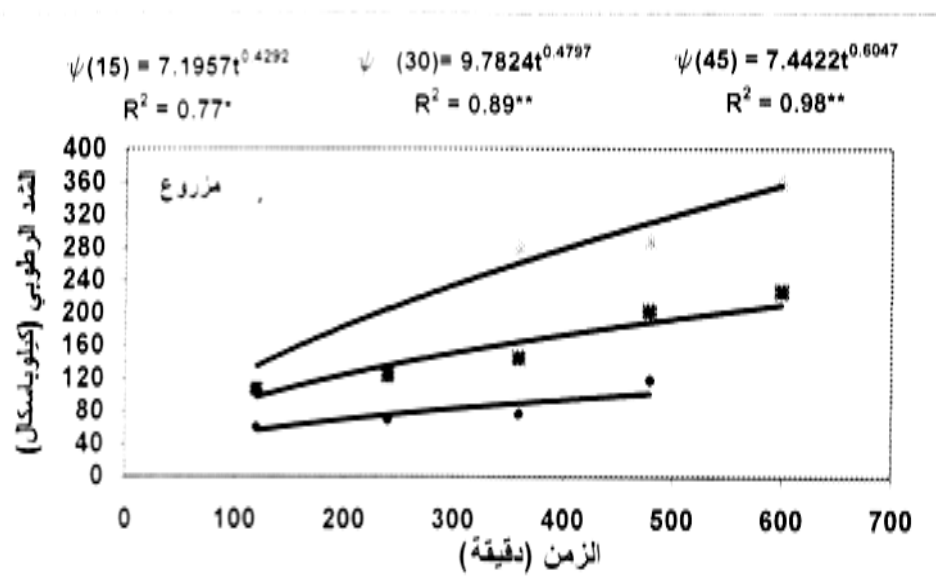
الشد عند جبهة الإبدان (kg/m ²)		الحد عند جبهة الإبدان (kg/m ²)		الحد عند جبهة الإبدان (kg/m ²)		الحد عند جبهة الإبدان (kg/m ²)										
Sor المحموية	Sor المقادمة	K	θ	المقادمة المحسوبة	المقدمة المحسوبة	R ²	n	m	R ²	b	a	R ²	b	a		
41.9	1.6	24.2	41.9	0.27	0.14	0.96	0.12	0.95**	0.51	2.19	0.9**	0.4	0.89	0.125	0.069	15
70.9	12.3	243	70.9	1.1	0.15	1.1	0.18	0.72*	0.7	65.9	0.71*	0.29	0.61	0.144	0.093	30
274	20.2	101.5	274.6	0.5	0.14	0.78	0.12	0.72*	0.61	6.82	0.71*	0.28-	0.44	0.103	0.066	45
152.7	-	60.3	152.7	0.35	-	0.84	0.06	0.63NS	0.21**	30.9	0.67*	0.14X	0.061	0.14	0.112	60
60.4	-	234.5	60.4	0.212	-	0.9	0.18	0.63NS	0.25**	440.1	0.63NS	0.06X	0.09	0.143	0.117	75
82.7	2.5	231.8	82.7	0.803	0.14	2.3	0.06	0.97**	1.49	0.02	0.98**	0.22-	1.1	0.384	0.285	15
240	5.1	29.79	240.2	1.04	0.15	1.8	0.18	0.77*	0.93	0.59	0.69*	0.15-	0.67	0.33	0.257	30
161	7.5	40.52	161.3	0.65	0.14	1.68	0.06	0.61NS	0.56	5.02	0.61NS	0.08-	0.46	0.314	0.267	45
796	-	178.7	796.2	0.884	-	1.26	0.06	0.61NS	0.17*	255.9	0.61NS	0.02	0.27	0.316	0.293	60
81.9	-	92.9	81.8	0.287	-	1.26	0.06	0.66NS	0.62	91.8	0.66NS	0.003-	0.31	0.312	0.289	75

* معنوي عند مستوى احتمال ١% ، ** معنوي عند مستوى احتمال ٥% .
نقيمة مرتبطة أو سلالية لها تفسير فزيولوجي.



* معنوي عند مستوى احتمال ١٪ ، ** معنوي عند مستوى احتمال ٥٪

() المحتوى الرطوبى لأعماق التربة المختلفة والزمن خلال فترة الغير الأول لحقل
كلية الزراعة والغابات المزروع



*معنوي عند مستوى احتمال 1% ، ** معنوي عند مستوى احتمال 5%

() : الشد لأعماق التربة المختلفة والزمن خلال فترة الغيض الأول لحقل كلية الزراعة

وتأثير ذلك على نسبة التشبع للتربة . اما بالنسبة لقيم الشد (H_f) للترب غير المزروعة يلاحظ انخفاضها خلال مرحلة الغيض الثاني والثالث وذلك يرجع الى استمرار تدفق الماء واستقرار في الفراغات البينية والذي يعود الى الضغط الفقاعي المتولد وعدم فقدان الماء من التربة واستنراقه مثل حالة الترب المزروعة . هذه النتيجة تتفق مع ما توصل اليه [4] . من جهة اخرى يلاحظ ان قيم معامل التحديد R^2 بين جهد الشد كدالة لامتصاصية المقاسة مختبريا والجذر التربيعي للزمن من خلال الاعماق الثلاثة وكانت بحدود . للترب المزروعة وغير المزروعة لتر布 موقع كلية الزراعة والغابات (sor) . حيث كانت قيم الشد (H_f) للعمق الاول خلال فترة الغيض الاول . كيلوباسكال اضافة لذلك يلاحظ من نتائج الدراسة اعتماد قيم دخول الهواء المقاسة على عامل المحتوى الرطبوبي الابتدائي والمشبع وذلك من خلال قوى ارتباطها بالعوامل الثابتة وكان معامل التحديد R^2 بينهما .

الترب المزروعة وغير المزروعة على التوالي . ويعود سبب هذا الاختلاف الى عدم تشبع التربة والذي ادى الى تغير في قيم دخول الهواء في الترب غير المزروعة عنها في الترب اما عند ملاحظة نتائج قيم جهد الشد (H_f) (K) لترب الموقع الثاني انها

متقاربة لبعضها البعض عند العمق . كيلوباسكال خلال مرحلة الغيض الثاني واستمر التوافق لغاية العمق . بينما لم يحصل توافق لهذه القيم عند العمق . سم للترب غير المزروعة (sor) . ويعود السبب في ذلك الى فعالية جذور النباتات وقدرتها على امتصاص الماء من قطاع التربة المزروعة عند مقارنتها بالترب غير المزروعة . وهذه النتيجة اتفقت مع النتائج التي توصل اليها [22] .

عند ربط فعل كل من الشد والايصالية المائية واشتراكهما في التأثير على الشد عند جبهة الابتلال كدالة للمحتوى الرطبوبي (H_f) يلاحظ انها اقل تأثيرا من فعل المحتوى الرطبوبي على الشد عند جبهة الابتلال كدالة للمحتوى الرطبوبي (H_f) باستخدام المعايير والعوامل الثابتة لكل من الترب المزروعة وغير المزروعة وكانت القيمة قد بلغت . كيلوباسكال لكل من (H_f) (K) (H_f) مع العوامل خلال فترة الغيض الثاني على التوالي يلاحظ ان معامل التحديد R^2 لكل من (H_f) مع العوامل و غير المزروعة كان . والعلاقة بينهما كانت

$$H_f = 43.26 - 21.13 a - 73.57 b - 0.03 m + 14.34 n \quad [6]$$

$$H_f = 28.59 - 50.64 a - 81.26b + 0.37m - 23.14n \quad [7]$$

ويعد سبب هذا الاختلاف الى فعل كل من الجذور وبقايا النباتات في تحسين صفات التربة كالايصالية المائية وسيادة عامل قلة المحتوى الرطبوبي وتاثيره في الايصالية المائية لحالة الترب غير المزروعة مقارنة بالترب المزروعة . كذلك لوحظ تطابق قيم الشد كدالة لامتصاصية (H_f) مع قيم الشد كدالة للمحتوى الرطبوبي (H_f) لكل من الترب المزروعة وغير المزروعة لحقل الجيلة ([7]) . رغم ان قيم الامتصاصية المقاسة لعينات تربة هذا الموقع لم تكن قريبة من القيمة المحسوبة وذلك لأن قيم الامتصاصية المقاسة تكون اقرب لواقع الحقل اذا كان قياسها خلال عملية الغيض للماء في الحقل وهذا ما اكده كل من [17]

المفاجئ للماء من قبل عمود السحب للتربة غير المستثار يحدث تغيرا في حجم المسام لحظة

و هذه النتيجة تتفق مع ما توصل اليها كل من [8 18]. ان قيمة معامل التحديد R^2 بين كل من الامتصاصية المقاسة والعوا ن كانت عالية في حالة الترب غير المزروعة مقارنة مع الترب المزروعة وسبب ذلك يعود الى دور عملية التجفيف والترطيب والتي ادت الى خفض قيم الامتصاصية في الترب غير المزروعة . وهذه النتائج تتطابق مع النتائج التي حصل عليها [13]

$$H_f(\text{sor}) = 42.04 - 127.63 a + 794.9 b - 0.14 m - 57.80 n \quad [8]$$

اما نتائج جهد الشد عند جبهة الابتلال كدالة لكل من المحتوى الرطوبى (H_f) للایصالية المائية (k) فقد كانت مختلفة فيما بينها خلال فترتي الغيض وكل من الترب المزروعة وغير المزروعة لموقع الجبالة . يعود سبب ذلك الى فعالية ودور تغير المحتوى الرطوبى على قيم (H_f) كثر من تأثيرها في قيم (k) رغم اعتماد نفس المعايير عند تطبيق المعادلة الخاصة لكل منها. يحصل التوافق بين قيم كل من (H_f) (k) % وبلغت قيمهما . كيلوباسكال كيلوباسكال خلال فترتي الغيض الاول والثاني للترب المزروعة على التوالي . بينما كانت نفس القيم في حالة الترب غير المزروعة . كيلوباسكال خلال فترة الغيض الثاني (). ويكون السبب بذلك راجعا الى دور بين كل من (H_f) (K) مما يؤدي الى خفض تأثير الشد والذي يعتبر احد العناصر الدالة ضمن الجهد الهيدروليكي وهذا بدوره يقلل من دور عامل ضغط الماء نتيجة لصغر قيمته واحداث التغير في الجهد الهيدروليكي والذي يعتمد على التغير في الایصالية المائية [1] عدم تطابق قيم الشد عند جبهة الابتلال كدالة للامتصاصية المقاسة والمحسوبة لكنه حصل تطابق بين قيم الشد كدالة للمحتوى الرطوبى (H_f) مع مثيلتها كدالة للامتصاصية المحسوبة ($H_f(\text{sor})$) بالرغم من ارتفاع قيمة معامل التحديد بين عمق الماء والجذر التربيعي للزمن والذي بلغ . لكل من الترب المزروعة وغير المزروعة (). ومن خلال هذه الدراسة يمكن الاستنتاج بان معادلات التنبؤ بالشد عند جبهة الابتلال كدالة للمحتوى الرطوبى (H_f) توافقا وبدرجة معنوية في حالة الترب المزروعة مقارنة بالترب غير المزروعة .

حصل توافق بين قيم الشد عند جبهة الابتلال كدالة لكل من المحتوى الرطوبى والامتصاصية المحسوبة وذلك لارتباط كل منها في بعض المعايير المشتركة عند تقديرها وكذلك كدالة الایصالية المائية وخاصة عند نسبة التسبّع بين %. واخيرا يمكن الاستنتاج الى ان توافق قيم الشد المختلفة كدالة للصفات الهيدروليكيّة متدرجة بين القيم المتوسطة – العالية ولجميع

References

- 1-Ahuja, L.R, D.L. Nofziger, D. Swartzendruber, and J . D . Ross.
Relationship between Green and Ampt parameter based on scalling

- concepts and field – measured hydraulic data . water Resour . Res . 25(7) (1989): 1766 – 1770 .
- 2-Ahuja , L .R , R . E . Green, S . K . Chong, and D. R. Nielsen A simplified functions approach for in situ determination of soil hydraulic conductivities and water characteristics . water Resour Res . 16 (1980): 947 – 953 .
- 3-Blake, G.R., and K.H. Hartge. Method of soil analysis. part.1. Physical and Minerlogical Methodes 2nded. Mono, Amer. Soc. Agron. Madison, Wisconsin., (1986): 256-266.
- 4-Braken siek , D . L, and C . A . Onstad . Parameter estimation of the Green and Ampt infiltration equation . Water Resour . Res . 13 (6) (1977): 1009-1012.
- 5-Chong , S . K ., and R. E . Green . Application of field measured sorptivity for simplified infiltration prediction. P. 88–96 proc. of the symp On hydrologic Transport Modeling . New Orleans . La 10 –11 Dec.ASAE publication (1979) . No – 4-80 .
- 6-Chong , S . K . R .E . Green, and L . R . Ahuja. Infiltration prediction based on estimation of Green-Ampt wetting front pressure head form measurements of soil water redistribution. Soil Sci. Soc.Am.j. 46 (1982):235-239.
- 7-Chong, S. K, R. E Green, and L.R. Ahuja. Determination of sorptivity based on in – situ soil water redistribution measurement. Soil Sci. Soc. Am. J. 46 (1982b): 228-230.
- 8-Clothier, B. E, and K. R. J. Smettem. Combining laboratory and field measuremends to define the hydraulic properties of soil . Soil Sci . Soc . Am . J . 54 (2) (1990): 299-304 .
- 9-Dirksen, C. Determination of soil water diffusivity by sorptivity measurements. Soil Sci. Soc. Am. Proc. 39 (1975): 22-27.
- 10-Drost, D. T, and D. Wilcox-Lee. Effect soil matric potential on growth and physiollogical responses of green house grown Asparagus Inter Soc. Horti Sci: 27 (1) (1990) : 467-476 .
- 11-Hansen, V. E. Infiltration and soil water movement during irrigation. Soil Sci. 79 (1955) :93-105.

- 12-Kao, C.S, and J.R. Hunt. Prediction of wetting front movement during one-dimensional infiltration into soil water Resour. Res. 32(1) (1996):55-64.
- 13-Mapa, R. B, R. E. Green, and L. Santo, Temporal variability of soil hydraulic properties with wetting & drying subsequent to tillage. Soil Sci. Soc. Am. J. 50: (1986) 1133-1138 .
- 14-Mein, R. G, and C. L. Larson. Modeling infiltration during a steady rain . water Resour Res . 9 (2) (1973) : 384-394.
- 15-Peck , A. J. Redistribution of soil water after infiltration . Aust. J . Soil Res 9 (1971): 59-71.
- 16-Philip, J. R. The theory of infiltration 4. Sorptivity and algebraic infiltration equations. Soil Sci. 84 (1957): 257-264.
- 17-Scotter, D. R, B.E. Clothier, and E. R. Harper. Measuring saturated conductivity and sorptivity using twin ring . Aust . J . Soi / Res . 20 (1982): 295-304 .
- 18-Sharma, M. L., G. A. Gander, and C. G. Hunt. Spatial variability of infiltration of water shed . J . Hydro . 45 (1980): 101-122 .
- 19-Skaggs , R. W., D. E. Miller, and R. H. Brooks. Soil water properties . In jensen M . E. (ed). Part 1. Design and operation of farm irrigation system. ASAE Monograph No. 3 (1980): pp 77 – 123 .
- 20-Staple , W . J. Infiltration and redistribution of water in vertical columns of loam soil . Soil . Sci . Soc . Am . Proc . 30 (1966): 553-558 .
- 21-Talsma, T.. The effect of initial moisture content and infiltration quantity on redistribution of soil water . Aust . J . Soil . Res . 12 (1974): 15-26.
- 22-Toyota , K, I . M . Young, and K . Ritz .. Effect of soil matric potential and bulk density an the growth of fusarium oxysporum F. sp. Raphani soil. Biology – Biochemistry. Exeter. 28 (9) (1996): 1139 .

- 23-Watson , K .K; and F . D . Whisler. Numerical analysis of drainge of aheterogenous porous medium . Soil Sci . Soc . Am . Proc . 36.(1972) : 251 – 256.
- 24-Wooding, R.A.. Steady infiltration from a shallow circular pond, Water Resour. Res. 4 (1986):1259-1243.
- 25-Youngs, E. G; P. Bleeds – Harrison, and R. S. Garnett. Water uptake by aggregate. Euro. J. of Soil Sci. 45 (1994): 127-134.
- 26-القهوجي حسين عبد المجيد . التنبؤ بالشد عند جبهة الابتلال من قياس المحتوى الرطوبى خلال عملية الغيض لترسب مختلفة النسجة. اطروحة دكتوراه – كلية الزراعة .() . - - -